

شناسایی خرابی در اتصال‌های تیر به ستون قاب‌های خمی تحت بار ضربه‌یابی با استفاده از یک روش بهینه‌سازی

نگران بهنایی (کارشناس ارشد)

سید محمد سیدپور^{*} (دانشیار)

گروه مهندسی عمران، دانشگاه شمال، آمل

مهمشی عمان شرف، (ایران) ۱۳۹۸/۱۵/۱، (زاداشت ذق)

دوری ۲ - ۵، شماره ۱/۱۰ ص.

در نوشتار حاضر، یک روش مبتنی بر بهینه‌سازی، جهت شناسایی خرابی در اتصال‌های قاب‌های خمی تحت بار ضربه‌یابی ارائه شده است. ابتدا اتصال‌های تیر به ستون در قاب خمی با فنرها پیچشی فاقد طول مدل شدند. سپس یک ضریب صلبیت در هر اتصال تعریف شده است. در ادامه، مسئله‌ی شناسایی خرابی در اتصال به یک مسئله‌ی بهینه‌سازی استاندارد تبدیل شده است که برای تعريف تابع هدف در بهینه‌سازی، از شتاب‌های گردی‌ی آسیب دیده و شتاب‌های تحلیلی به دست آمده از روش نیومارک استفاده شده است. مسئله‌ی بهینه‌سازی موردنظر با استفاده از الگوریتم تکامل تناضالی بهبودیافته^۱ برای تشخیص آسیب حل شد. به منظور بررسی کارایی و همچنین بررسی اثر محل حسگرها در روش پیشنهادی، دو مثال عددی ارائه شدند و نتایج نشان دادند که روش پیشنهادی، محل و شدت خرابی در اتصال‌ها را به خوبی شناسایی می‌کند. همچنین جانسایی حسگرها در محل مناسب، تأثیر بهسازی در شناسایی خرابی دارد.

m.p.omran@yahoo.com
s.m.seyedpoor@gmail.com

وازگان کلیدی: شناسایی خرابی، اتصال‌های تیر به ستون، پاسخ‌های حوزه‌ی زمان، الگوریتم بهینه‌سازی.

۱. مقدمه

در پژوهشی در سال ۱۹۹۸، با استفاده از ترکیب دو روش تغییر پارامتر تقریبی (APC)^۲ و تطبیق اثر آسیب (DSM)^۳ و همچنین بهره‌گیری از پارامترهای مodal، خرابی در اتصال‌های سازه شناسایی شد. نتایج نشان داد که روش ترکیبی ذکر شده به خوبی محل آسیب‌های تکی و چندگانه را شناسایی می‌کند، اما دقیقاً مقادیر خرابی را نشان نمی‌دهد.^[۲] همچنین در سال ۲۰۰۱، با استفاده از شبکه‌های عصبی و اندازه‌گیری پارامترهای مodal، شدت و مکان خرابی در اتصال‌های قاب‌های فولادی تشخیص داده شد. در روش مذکور، تمام اتصال‌ها تبدیل به فنرها فاقد طول مدل شدند و آسیب با استفاده از کاکش در سختی دورانی اتصال مدل شد. نتایج بدست آمده، نشان‌دهنده‌ی دقت روش پیشنهادی در شناسایی خرابی در اتصال‌ها بود.^[۲]

در پژوهش دیگری در سال ۲۰۰۶، روشی مبتنی بر المان طیفی و بهره‌گیری از حسگرها پیزوالکتریک (PZT)^۴ برای شناسایی محل و شدت خرابی پیشنهاد شد که در آن آسیب با استفاده از شل کردن پیچ‌های اتصال شبیه‌سازی شد و نتایج نشان داد که محل آسیب با دقت قابل قبولی شناسایی شده است، اما شدت آسیب به محل قرارگیری حسگرهای پیزوالکتریک و تعداد آن‌ها بستگی دارد.^[۲] همچنین در سال ۲۰۰۹، از تغییرات در بسامد و شکل‌های مودی سازه و یک روش بهینه‌سازی به عنوان راهی برای شناسایی خرابی در اتصال‌های قاب فولادی استفاده شده است. اتصال‌ها توسط فنرها پیچشی فاقد طول مدل و آسیب‌ها با استفاده از کاکش

وقوع خرابی در سیستم‌های سازه‌یی و اعضاء بحرانی آن‌ها در طول عمر سازه، امری اجتناب‌ناپذیر است. اگر خرابی در سیستم‌های سازه‌یی به طریقی قابل شناسایی باشد، می‌توان با تعمیر یا تعویض المان‌های آسیب دیده از ایجاد خرابی‌های کلی در سازه جلوگیری کرد.^[۱] طی سال‌های اخیر، بیشتر روش‌های شناسایی خرابی ایجاد شده، بر خرابی در اعضاء سازه‌یی تمرکز داشته و عموماً از خرابی در اتصال‌های سازه‌ها غافل بوده و در مورد آن مطالعات کمتری انجام شده است. از ویژگی‌های قاب خمی، نقش مهم اتصال‌ها در آن است؛ زیرا عملکرد سازه‌های مذکور تا حد بسیار زیادی به ساختی و مقاومت اتصال‌های تبر به ستون بستگی دارد. وقوع خرابی در قاب‌های خمی، سبب تغییر در مشخصات ساختی، جرم، میرایی و در نتیجه پاسخ‌های دینامیکی، از جمله شتاب سازه خواهد شد که از همین نکته می‌توان به عنوان راهی برای شناسایی خرابی در اتصال‌های سازه‌ها استفاده کرد. یکی از شاخص‌ها برای تشخیص خرابی، استفاده از پاسخ‌های دینامیکی در حوزه‌ی زمان هستند که مستقیماً و با هزینه‌ی کمتر در مقایسه با سایر پاسخ‌های دینامیکی قابل اندازه‌گیری هستند.

* نویسنده مسئول
تاریخ: دریافت ۲۰، اصلحیه ۳۱، ۱۳۹۶، ۴/۳، پذیرش ۱۰، ۱۳۹۶/۵/۱۰

مفصلی در نظر گرفته می‌شوند. در صورتی که در واقعیت، بیشتر اتصال‌ها، ظرفیت لحظه‌ی بین دو حالت ذکرشده را دارند. در نوشتار حاضر، اتصال‌ها به روش مدل مکانیکی مدل‌سازی شده‌اند که مبتنی بر شبیه‌سازی گره یا اتصال با استفاده از المان‌های انعطاف‌پذیر (فنا) است. با روش مدل مکانیکی، تمام اتصال‌های صلب تبدیل به اتصال‌های نیمه‌صلب می‌شوند. شکل ۱، طرح شماتیک اتصال نیمه‌صلب تیر به ستون را نشان می‌دهد.^[۷]

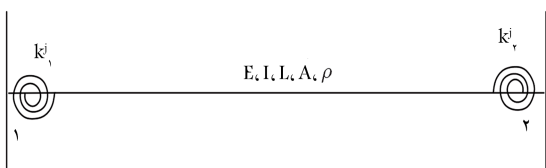
با استفاده از مدل مذکور، تمام اتصال‌ها با فنرهای پیچشی فقد طول مدل می‌شوند، سپس یک ضربی صلبیت انتهایی در هر اتصال تعریف می‌شود که مرتبط با سختی خمی عضو L و سختی فنر پیچشی K است:^[۱۱]

$$P_i = \frac{1}{1 + \frac{\tau E I}{L K_i}} \quad (1)$$

که در آن، متغیر $i = 1, 2$ (بینگر دو انتهای عضو و زیانگر اتصال^۸) است. مقدار تئوری P_i بین ۰ تا ۱ است، که مقدار ۰ مربوط به اتصال مفصلی و مقدار ۱ مربوط به اتصال کاملاً صلب است. بنا بر این یک عضو نیمه‌صلب، ضربی صلبیت انتهایی بین ۰ و ۱ دارد که از این مفهوم جهت شناسایی آسیب در قاب خمی با اتصال صلب استفاده می‌شود. به این صورت که اگر در یک سازه با اتصال صلب، مقدار P از ۱ کمتر شود، دیگر اتصال صلب نیست و اتصال چار خرابی شده است. سختی دورانی اتصال نیمه‌صلب مرتبه با سختی خمی تیر از رابطه‌ی ۲ بدست می‌آید:

$$K_i = \gamma \frac{E L}{L} \quad (2)$$

که در آن، K سختی دورانی اتصال نیمه‌صلب، E و L به ترتیب مدل کشسانی، ممان اینرسی و طول المان تیر و همچنین γ یک ضربی تناسب هستند. اگر ضربی صلبیت انتهایی برای هر اتصال، P_e و P_f باشند، ماتریس چرم یک المان قاب با اتصال‌های نیمه‌صلب از رابطه‌ی ۳ بدست می‌آید.^[۱۰] که در آن، \bar{m} چرم واحد طول و اندیس‌های f و e نشان‌دهنده‌ی دو سر ابتدایی^۹ و انتهایی^{۱۰} تیر و ستون هستند. روابط f ‌ها نیز از نوشتاری در سال ۲۰۰۴ بدست می‌آیند.^[۱۱] ماتریس سختی یک المان قاب نیز با درنظر گرفتن اتصال‌های نیمه‌صلب از رابطه‌ی ۴



شکل ۱. طرح شماتیک اتصال نیمه‌صلب تیر به ستون.

ساختی دورانی اتصال شبیه‌سازی شدند. نتایج نشان دهنده‌ی دقت روش پیشنهادی در یافتن محل و شدت خرابی بود.^[۵] برخی پژوهشگران نیز در سال ۲۰۱۰ با استفاده از حسگرهای خوشی‌بی متراکم، آسیب‌های محلی در اتصال‌های تیر به ستون را با دقت خوبی شناسایی کردند.^[۶]

در پژوهش دیگری در همان سال، روشی جهت شناسایی مکان وسعت خرابی در اتصال‌ها ارائه شد، که در آن از تغییرات بسامد و یک الگوریتم تکرارشونده جهت شناسایی خرابی استفاده شد که با درصد خطای کم توانست خرابی را شناسایی کند.^[۷] در سال ۲۰۱۲، نیز با بهره‌گیری از تحلیل مودال و روش مدل استنتاجی باسین کالیبره شده^{۱۱} به شناسایی خرابی در اتصال‌های قاب فولادی پرداخته و آسیب در قالب حذف برخی از مفصل‌های اتصال قاب مدل شد. همچنین از خواص مودال سازه (تغییرات در ۴ مود اول بسامدهای طبیعی) و نیز کاهش سختی دورانی اتصال (کاهش ۳۹ درصدی ضربی صلبیت اتصال) برای شناسایی مکان خرابی استفاده شده است.^[۸] در سال ۲۰۱۴، نیز با استفاده از روش بهینه‌سازی ازدحام ذرات (PSO)^۹ و پارامترهای مودال سازه (شکل‌های مودی و بسامدهای طبیعی)، میزان آسیب در اتصال‌های قاب‌های فولادی با دقت قابل قبولی برآورد شده است.^[۹] همچنین در پژوهش دیگری در سال ۲۰۱۶، از روش استنتاجی باسین و کاهش مدل المان محدودی به منظور شناسایی محل خرابی در اتصال‌های قاب فولادی استفاده از شکل کردن پیچ‌های برخی اتصال‌های تیر به ستون مدل شد. نتایج نشان دهنده‌ی دقت روش پیشنهادی در شناسایی مکان خرابی بود.^[۱۰] هدف از مطالعه‌ی حاضر، شناسایی محل و شدت خرابی در اتصال‌های قاب‌های سختی با استفاده از کمینه‌ی پاسخ‌های دینامیکی سازه است. بدین منظور از اصول دینامیک سازه و اجراء محدود استفاده شده است. ابتدا مسئله‌ی شناسایی خرابی در اتصال، به صورت یک مسئله‌ی بهینه‌سازی تعریف شده است، که در آن از پاسخ‌های حوزه‌ی زمان سازه (شتاب در نقاط گرهی)، برای تعریف تابع هدف در بهینه‌سازی استفاده شده است. همچنین شبیه‌سازی اتصال‌ها با استفاده از فنرهای فقد طول در محیط نرم‌افزار متلب^۷ صورت گرفته و از روش نیومارک جهت تعیین شتاب سازه استفاده شده است. سپس با بهره‌گیری الگوریتم تکامل فاضلای بهبودیافته جهت حل مسئله‌ی بهینه‌سازی، محل و شدت آسیب‌های تکی و چندگانه با دقت بالایی در اتصال‌ها تعیین شده است. همچنین در مطالعه‌ی حاضر، تأثیر محل قرارگیری حسگر در شناسایی خرابی نیز بررسی شده است.

۲. مدل‌سازی اتصال‌ها

بکی از حساس‌ترین قسمت‌های یک سازه‌ی قاب فولادی، اتصال‌های تیر به ستون آن است. اتصال‌های مذکور در قاب‌های فولادی عموماً به صورت کاملاً صلب یا

$M^e = \frac{\bar{m}L}{\tau D^2}$	$140D^2$	$4f_1(P_e P_f)$	$2L f_2(P_e, P_f) \quad 4L' f_5(P_e, P_f)$	$140D^2$	$Symmetric$
	$140D^2$	$2L f_2(P_e, P_f) \quad 4L' f_5(P_e, P_f)$	$140D^2$	$4f_1(P_f, P_e)$	
	$140D^2$	$-L f_4(P_e, P_f) \quad -L' f_6(P_e, P_f)$	$-L f_4(P_f, P_e) \quad -L' f_6(P_f, P_e)$	$4L' f_5(P_f, P_e)$	

(۳)

$$K_e = \frac{EI}{L} \begin{bmatrix} A/I & & & & & \\ \circ & \frac{\frac{1}{4}(B_{11}+B_{12}+B_{21})}{L^4} & & & & \\ \circ & \frac{\frac{1}{4}(2B_{11}+B_{12})}{L^4} & 4B_{11} & & & \\ -A/I & \circ & & 0 & A/I & \\ \circ & \frac{-\frac{1}{4}(B_{11}+B_{12}+B_{21})}{L^4} & & \frac{-\frac{1}{4}(2B_{11}+B_{12})}{L^4} & \circ & \frac{\frac{1}{4}(B_{11}+B_{12}+B_{21})}{L^4} \\ \circ & \frac{\frac{1}{4}(B_{12}+2B_{21})}{L^4} & 4B_{12} & \circ & \frac{-\frac{1}{4}(B_{12}+2B_{21})}{L^4} & 4B_{21} \end{bmatrix} \quad (4)$$

به دست می‌آید.^[۱۲] که در آن، K_e و F_e به ترتیب سختی و نیروی معادل هستند که به ترتیب از معادله‌های ۱۱ و ۱۲ به دست می‌آیند:

$$K_e = \alpha_e M + \alpha_e C + K \quad (11)$$

$$F_e = F + M(\alpha_1 X_n - \alpha_2 \dot{X}_n) + C(\alpha_1 X_n - \alpha_2 \dot{X}_n - \alpha_3 \ddot{X}_n) \quad (12)$$

حال برای به دست آوردن بردار شتاب از رابطه ۱۳ استفاده می‌شود:

$$\ddot{X}_{n+1} = \alpha_1(X_{n+1} - X_n) - \alpha_2 \dot{X}_n - \alpha_3 \ddot{X}_n \quad (13)$$

که در آن، ضرایب نیومارک از نوشتاری در سال ۱۹۹۳، به دست می‌آیند.^[۱۳]

۴. شناسایی خرابی به روش بهینه‌سازی

هدف از پژوهش حاضر، شناسایی خرابی در اتصالات های قاب‌های خمیشی به وسیله‌ی یک روش بهینه‌سازی است. شکل کلی مسئله‌ی بهینه‌سازی مربوط به شناسایی خرابی به صورت رابطه ۱۴ تعریف می‌شود:^[۱۴]

$$Find : X^T = \{x_1, x_2, \dots, x_n\}$$

$$Minimize : W(X)$$

$$X^l \leq X \leq X^u \quad (14)$$

که در آن، X بردار متغیر خرابی شامل مکان و شدت خرابی‌های نامعلوم است، X^l و X^u حد پایین و بالای بردار خرابی هستند و W تابع هدف است که باید کمینه شود.

۱.۴. متغیر خرابی

در مطالعه‌ی حاضر، شدت آسیب اتصال در هر نقطه‌ی i به صورت کاهش نسبت ضریب صلابت انتهایی محل آسیب دیده به ضریب صلابت انتهایی همان نقطه در حالت سالم تعریف شده است (رابطه‌ی ۱۵):

$$x_i = 1 - \frac{P_{ix}}{P_{ih}}, \quad i = 1, 2 \quad (15)$$

که در آن، P_{ix} و P_{ih} به ترتیب نشان‌دهنده‌ی ضریب صلابت انتهایی در شرایط آسیب دیده و سالم هستند. با فرض $1 = P_{ih}$ میزان x_i از 0 تا 1 متغیر است. مقدار 0 ، برای شرایط سالم و مقدار 1 ، برای شرایط کاملاً آسیب دیده کاربرد دارد.

که در آن، B_{11}, B_{12} و B_{21} از رابطه‌های ۵ به دست می‌آیند:

$$B_{11} = \frac{3P_e}{4 - P_e P_f}, B_{12} = \frac{3P_e P_f}{4 - P_e P_f}, B_{21} = \frac{3P_f}{4 - P_e P_f} \quad (5)$$

به علت محدود بودن اطلاعات، روش میرایی رایلی، مؤثرین و کارآمدترین روش جهت یافتن میرایی سازه است که طبق معادله‌ی ۶ به دست می‌آید:^[۱۵]

$$[C] = \alpha_e [M] + \alpha_e [K] \quad (6)$$

که در آن، $[C], [M]$ و $[K]$ ماتریس‌های به ترتیب معرف ماتریس میرایی، ماتریس جرم و ماتریس سختی سازه هستند. همچنین α_e و α_1 پارامترهای ضرایب رایلی هستند و α_e و α_1 از معادله‌های ۷ و ۸ به دست می‌آیند:

$$\alpha_e = \frac{2\zeta(\omega_1 \omega_2)}{(\omega_1 + \omega_2)} \quad (7)$$

$$\alpha_1 = \frac{2\zeta}{(\omega_1 + \omega_2)} \quad (8)$$

که در آن‌ها، ζ نسبت میرایی، ω_1 و ω_2 بسامدهای زاویه‌ی در مودهای اول و دوم سازه‌ی مورد نظر هستند. میرایی در مطالعه‌ی حاضر، ۵٪ در نظر گرفته شده است.

۳. تحلیل دینامیکی قاب با اتصال نیمه‌صلب

در نوشتار حاضر، جهت شناسایی خرابی از شتاب در نقاط گرهی استفاده شده است که مستقیماً و با هزینه‌ی کمتر در مقایسه با سایر پاسخ‌های دینامیکی قابل اندازه‌گیری است. برای به دست آوردن پاسخ‌ها در حوزه‌ی زمان، نیاز به حل معادله دیفرانسیل مرتبه‌ی دوم حاکم بر رفتار دینامیکی سازه‌های چند درجه‌ی آزادی مطابق رابطه ۹ است.^[۱۶]

$$[M]\ddot{X}(t) + [C]\dot{X}(t) + [K]X(t) = F(t) \quad (9)$$

که در آن، $F(t)$ نیروی وارده به سازه است و $(\ddot{X}(t), (\dot{X}(t), X(t))$ به ترتیب بردارهای شتاب، سرعت و جابه‌جایی سازه در لحظه‌ی t هستند. روش‌های گوناگونی جهت حل معادله دینامیکی و محاسبه‌ی مؤلفه‌های جابه‌جایی، سرعت و شتاب توسط پژوهشگران مختلف ارائه شده است. در نوشتار حاضر، برای حل معادله ۹ از روش نیومارک به دلیل خطای کمتر نسبت به سایر روش‌ها استفاده شده است. برای به دست آوردن جابه‌جایی در روش نیومارک، از رابطه‌ی ۱۰ استفاده می‌شود:

$$X_{n+1} = K_e^{-1} \cdot F_e \quad (10)$$

۲.۴. تابع هدف

$V_{i,G+1}$ تولید می‌شود.^[۱۶] لذا از عملگرهای تقاطع و انتخاب برای تولید نسل جدید استفاده شده و این فرایند تا حصول همگرایی ادامه یافته است.

۴.۴. الگوریتم تکامل تفاضلی بهبودیافته

سه پارامتر مهم در الگوریتم بهینه‌سازی DE، اندازه‌ی جمعیت، ضریب جهش، و ضریب تقاطع هستند که انتخاب بهترین گزینه برای هر یک می‌تواند در کارایی (دقیق، قدرت و سرعت) الگوریتم DE مؤثر باشد. در مطالعه‌ی حاضر، برای تولید نسل جدید و با هدف بالا بردن کارایی الگوریتم، از بردار جهش متفاوتی استفاده شده است (رابطه‌ی ۱۷):^[۱۷]

$$V_{i,G+1} = \begin{cases} X_{r1,G} + mf(X_{r1,G} - X_{r2,G}) & \text{if } W(X_{r1,G}) \\ < W(X_{r1,G}) \\ X_{r1,G} + mf(X_{r1,G} - X_{r2,G}) & \text{otherwise} \end{cases} \quad (17)$$

همچنین cr ضریب تقاطع از رابطه‌ی ۱۸ بدست می‌آید که سبب ایجاد پاسخی بهتر برای الگوریتم می‌شود:^[۱۸]

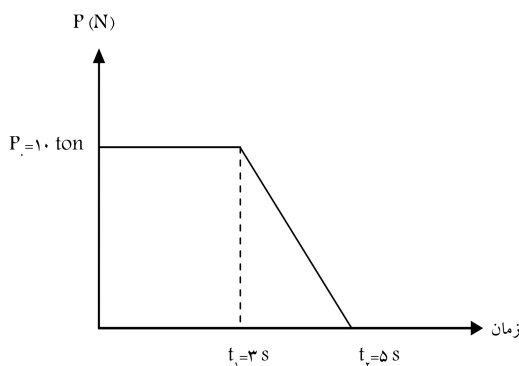
$$cr = 0,2 \exp^{-\frac{K}{K_{\max}}} \quad (18)$$

۵. مثال عددی

قابلیت روش پیشنهادی در شناسایی خرابی در اتصال‌ها با دو مثال عددی بررسی شده است. مثال‌های عددی، شامل: دو قاب دو بعدی ۱ و ۳ دهانه است که هر دو قاب در معرض بار ضربه‌ی مطابق شکل ۳ قرار گرفته‌اند.

۵.۱. مثال اول: قاب ۶ طبقه‌ی یک دهانه

در بخش حاضر، یک قاب با ۱۸ المان مطابق شکل ۴ به عنوان مثال اول بررسی شده است. تعداد درجه‌های آزادی کل سازه‌ی مذکور با حذف درجه‌های آزادی مقید در تکیه‌گاه، ۳۶ است. بار ضربه‌ی در گره ۷ (درجه‌ی آزادی افقی) به قاب وارد می‌شود. مشخصات مقاطع و دو الگوی خرابی برای قاب ذکرشده به ترتیب در جدول‌های ۱ و ۲ ارائه شده است. پارامترهای بهینه‌سازی $NP = 50$ ، $mf = 0,5$ و $cr = 0,1$ به دست می‌آیند. مقدار $k_{\max} = 10000$ است. در ابتدا، به بررسی محل قرارگیری حسگر و تعداد آن پرداخته شده است.



شکل ۳. بار ضربه‌ی ذوزنقه‌ی.

تابع هدف، معیاری است که به وسیله‌ی آن مقدار همگرایی الگوریتم و زمان توقف اجرای الگوریتم مشخص می‌شود. در مطالعه‌ی حاضر، تابع هدف مورد استفاده از طریق رابطه‌ی ۱۶ تعریف می‌شود:

$$W(X) = -\frac{1}{2} \left(\frac{|a_d^T \cdot a(X)|^2}{(a_d^T \cdot a)(a(X)^T \cdot a(X))} + \frac{1}{n} \sum_{i=1}^{nm} \frac{\min |(a_{xi}, a_{di})|}{\max |(a_{xi}, a_{di})|} \right) \quad (16)$$

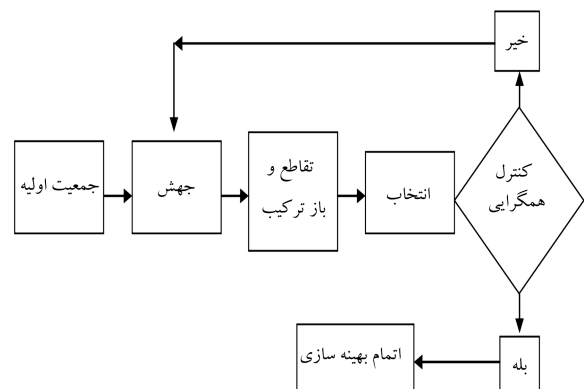
که در آن، a_d بردار شتاب سازه‌ی آسیب دیده، $a(X)$ بردار شتاب مدل تحلیلی و nm تعداد مؤلفه‌های بردار شتاب هستند. در صورت استفاده از پاسخ‌های شتاب پیش از ۱ گره از سازه، بردارهای شتاب گرمی، به صورت یک بردار ستونی واحد در نظر گرفته خواهد شد.

اکنون مسئله‌ی شناسایی خرابی به شکل یک مسئله‌ی بهینه‌سازی استاندارد تبدیل شده است. حال باید با استفاده از یک الگوریتم بهینه‌سازی مناسب، تابع مذکور کمینه شود، تا موقعیت و مقدار خرابی در اتصال به دست آید. در پژوهش حاضر، از الگوریتم تکامل تفاضلی بهبود یافته برای حل مسئله‌ی شناسایی خرابی استفاده شده است.

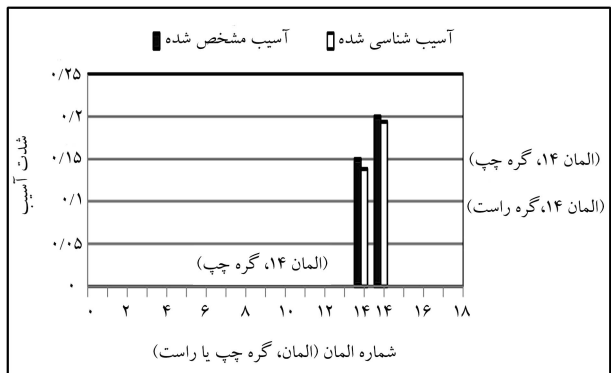
۳.۴. الگوریتم تکامل تفاضلی

الگوریتم تکامل تفاضلی (DE)، یک راهبرد احتمالی مبتنی بر جمعیت است که رفتاری تصادفی دارد و با استفاده از یک سری حل پیشنهادی، فرایند بهینه‌سازی آغاز و نتیجه در طی تکرارهای متوالی به دست می‌آید. جهت شروع به کار الگوریتم، فقط به ۳ پارامتر کنترلی نیازمند است که عبارتند از NP اندازه‌ی جمعیت یا نسل اولیه، mf ضریب جهش (پارامتر کنترل کننده‌ی جهش) و cr درصد احتمال امکان جهش در هر تکرار (پارامتر کنترل کننده‌ی تقاطع). فرایند عمومی الگوریتم تکامل تفاضلی در شکل ۲ مشاهده می‌شود.^[۱۹]

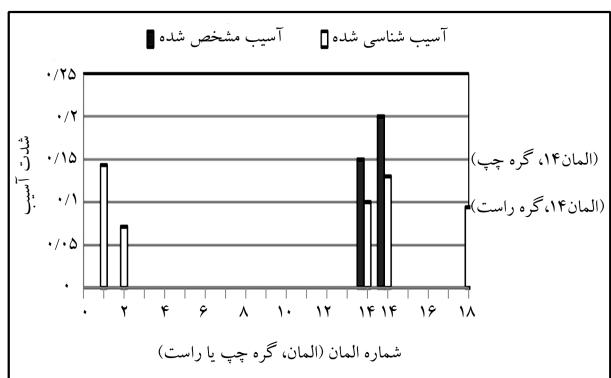
برای ایجاد جمعیت اولیه، ابتدا مرز پایینی x_l^j و بالایی x_u^j برای هر متغیر معرفی می‌شوند. سپس جمعیت اولیه به طور تصادفی در محدوده‌ی $[x_l^j, x_u^j]$ تولید می‌شود. به ازاء هر بردار معلوم، از نسل $X_{i,G}$ ، سه بردار A_i^G ، $X_{r1,G}$ ، $X_{r2,G}$ به طور تصادفی از میان جمعیت اولیه انتخاب می‌شوند، به طوری که r_1 و r_2 باید با یکدیگر و با نه متفاوت باشند. با استفاده جمعیت مذکور، بردار جهش یافته‌ی



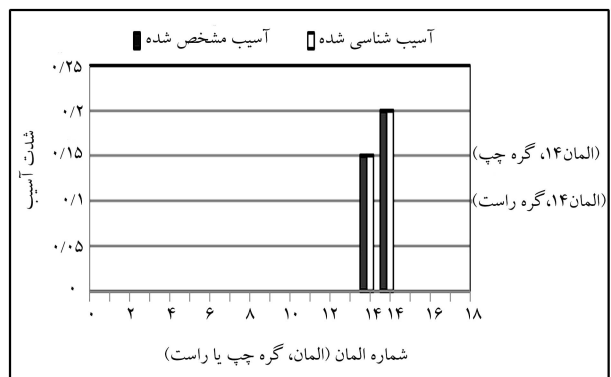
شکل ۲. فرایند عمومی الگوریتم تکامل تفاضلی.



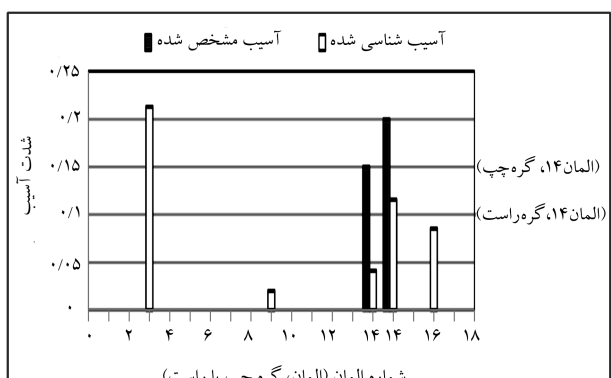
شکل ۵. نمودار شناسایی خرابی در حالت G1 و حالت ۱ قرارگیری حسگر.



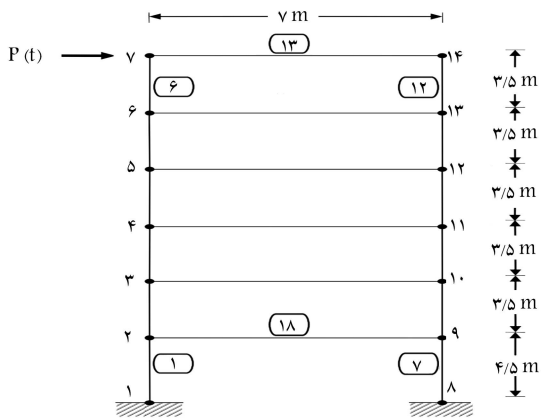
شکل ۶. نمودار شناسایی خرابی در حالت G1 و حالت ۲ قرارگیری حسگر.



شکل ۷. نمودار شناسایی خرابی در حالت G1 و حالت ۳ قرارگیری حسگر.



شکل ۸. نمودار شناسایی خرابی در حالت G1 و حالت ۴ قرارگیری حسگر.



شکل ۴. مدل قاب فولادی ۶ طبقه با ۱۸ المان.

جدول ۱. مشخصات مقاطع قاب فولادی ۶ طبقه.

$\rho(\frac{kg}{m^3})$	$E(GPa)$	$I(m^4)$	$A(m^2)$	قاب ۱
۷۸۵۰	۲۱۰	$۵,۶۲ \times 10^{-۴}$	$۱,۰۴ \times 10^{-۲}$	تیر
۷۸۵۰	۲۱۰	$۷,۱۲ \times 10^{-۴}$	$۲,۷۸ \times 10^{-۲}$	ستون

جدول ۲. حالت‌های آسیب دیدگی اعمال شده به قاب با ۱۸ المان.

(شماره گره، شماره المان)		G1
-	(۱۴, ۲) = ۰, ۲۰	(۱۴, ۱) = ۰, ۱۵
-	(۱۴, ۱) = ۰, ۲۰	(۶, ۱) = ۰, ۱۰

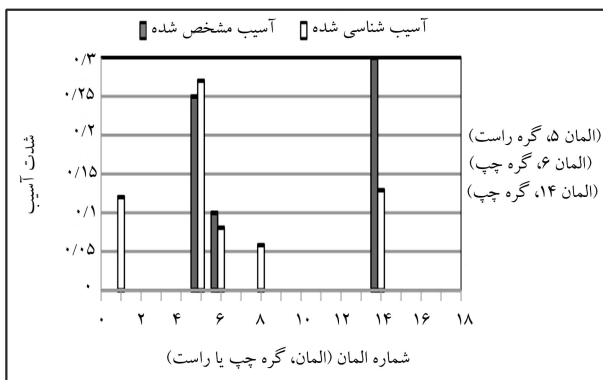
جدول ۳. حالت‌های قرارگیری حسگرها.

حالات	شماره گره
-	۷ ۱
-	۱۲ ۱۰ ۲
-	۱۴ ۱۳ ۳
۹	۴ ۳ ۴
۱۴	۱۲ ۷ ۵

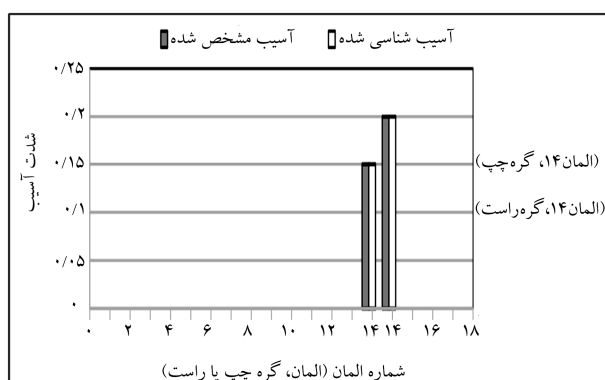
۱.۱. بررسی تأثیر محل قرارگیری حسگرها و تعداد آن‌ها در شناسایی خرابی

از عوامل تأثیرگذار در روش پیشنهادی، می‌توان به محل قرارگیری حسگرها و تعداد آن‌ها اشاره کرد. به دست آوردن بهترین حالت، نیاز به آزمون و خطای دارد. در نوشتار حاضر، ۵ حالت قرارگیری حسگر مطابق جدول ۳ بررسی شده است. کلیه حسگرها در درجه‌ی آزادی افقی قرار گرفته‌اند. نمودار شناسایی خرابی در حالت G1 با ۵ حالت قرارگیری حسگر در شکل‌های ۵ الی ۹ مشاهده می‌شود:

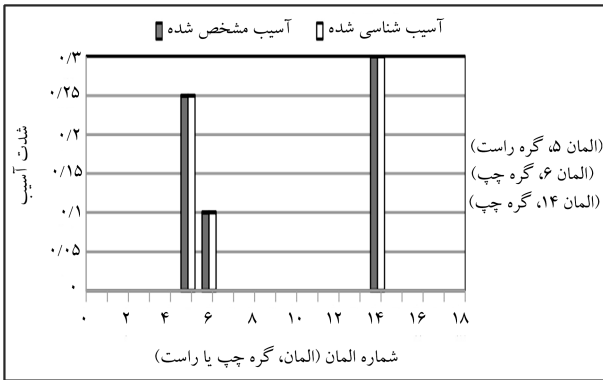
همان‌طور که در شکل‌های مذکور مشاهده می‌شود، نزدیکی حسگرها به موقعیت بار ضربه‌ی و موقعیت خرابی، موجب افزایش دقت در شناسایی محل و شدت خرابی شده است. همچنین اگر محل خرابی در طبقات بالای قاب قرار گیرد، روش پیشنهادی قادر به شناسایی بهتر محل و میزان خرابی خواهد بود، زیرا جایه‌جایی در بالای قاب (طبقات بالا) بیشتر از جایه‌جایی در قسمت تحتانی (طبقات پایین) قاب است. افزایش تعداد حسگر سبب افزایش دقت در روش مذکور می‌شود، اما اگر حسگرها در جای نامناسب قرار گیرند، در روند شناسایی خرابی اختلال به وجود



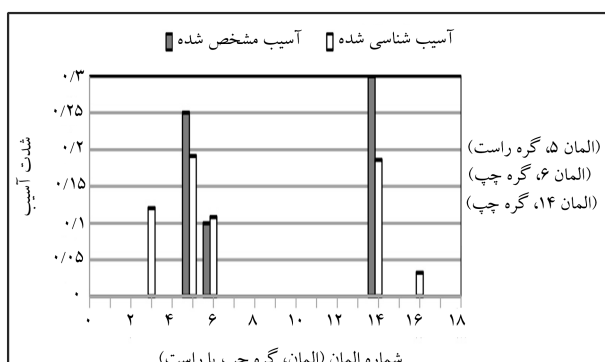
شکل ۱۱. نمودار شناسایی خرابی در حالت G2 و حالت ۲ قرارگیری حسگر.



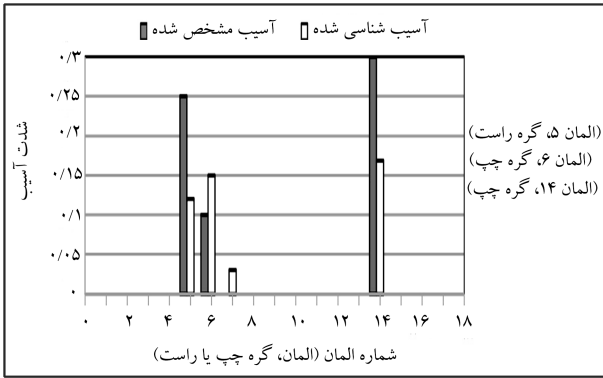
شکل ۹. نمودار شناسایی خرابی در حالت G1 و حالت ۵ قرارگیری حسگر.



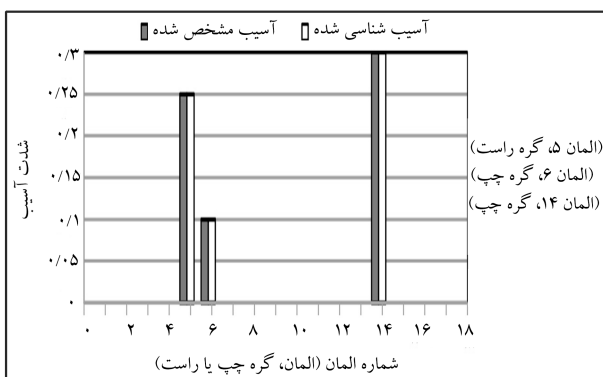
شکل ۱۲. نمودار شناسایی خرابی در حالت G2 و حالت ۳ قرارگیری حسگر.



شکل ۱۰. نمودار شناسایی خرابی در حالت G2 و حالت ۱ قرارگیری حسگر.



شکل ۱۳. نمودار شناسایی خرابی در حالت G2 و حالت ۴ قرارگیری حسگر.



شکل ۱۴. نمودار شناسایی خرابی در حالت G2 و حالت ۵ قرارگیری حسگر.

می آید. همین روند برای حالت خرابی ۲ تکرار می شود. در شکل های ۱۰ الی ۱۴ نمودارهای شناسایی خرابی برای ۵ حالت قرارگیری حسگر مشاهده می شوند. همان طور که مشاهده می شود، قرارگیری حسگرها در طبقات بالا، سبب شناسایی بهتر محل و شدت خرابی می شود و همچنین افزایش تعداد حسگرها دقت روش شناسایی را بالا خواهد برد، با این شرط که در محل مناسب نصب شود. از جنبه ای تئوری، حسگر باید در جایی قرار گیرد که خرابی، اثر بیشتری در آن ها داشته باشد، تا شناسایی بهتر صورت گیرد؛ اما در حالت عملی، موقعیت خرابی مشخص نیست و شاید از ایده ای عنوان شده توان استفاده کرد.

۲.۱.۵. شناسایی خرابی در قاب ۶ طبقه با ۱۸ المان با آزمون و خطأ، بهترین حالت های قرارگیری حسگر در دو حالت خرابی G1 و G2، حالت های ۳ و ۵ است که در مطالعه ای حاضر حالت ۳ (با دو حسگر) به دلیل تعداد حسگر کمتر برای ادامه ای کار انتخاب شده است. نمودار شناسایی خرابی در اتصال و نمودار هم گرا بی الگوریتم بهینه سازی بدون درنظر گرفتن نویز در حالت خرابی G1 به ترتیب در شکل های ۱۵ و ۱۶ و در حالت خرابی G2 به ترتیب در شکل های ۱۷ و ۱۸ نشان داده شده اند. همانطور که مشاهده می شود که روش پیشنهادی، موقعیت و شدت خرابی را بدون درنظر گرفتن نویز با دقت بسیار بالایی پیدا می کند و نتایج به دست آمده مؤید کارایی بالایی روش مذکور است و همچنین مشاهده می شود که با تقریباً ۱۶۰۰۰ بار تکرار الگوریتم، در ۴۰۰ تکرار آخر تغییر محسوسی ایجاد نشده و الگوریتم به هم گرا بی رسانیده است. حال نتایج حاصل با اعمال نویز اندازه گیری با درصد خطای استاندارد ۱٪، ۳٪ و ۵٪ برای دو حالت خرابی مذکور بررسی شده است. برای

شبیه سازی اثر نویز از رابطه G_1 استفاده شده است:

$$a_d^{n_{oisy}} = a_d[1 + 2(\text{random}) - 1(\text{noise})] \quad (19)$$

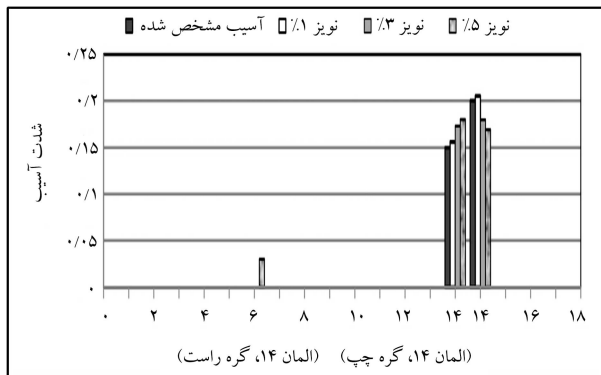
که مقدار نویز اندازه گیری $random$ تابع تولید مقادیر اتفاقی مشیت کوچک تر از ۱ است که هم اندازه با بردار شتاب گرهی سازه ای آسیب دیده توسط نرم افزار متلب تولید می شود. همچنین a_d بردار شتاب های گرهی سازه ای آسیب دیده است. شکل های ۱۹ و ۲۰، نمودارهای شناسایی خرابی در دو حالت خرابی G_1 و G_2 با درنظر گرفتن نویز ۱٪، ۳٪ و ۵٪ را نشان می دهند. همان طور که مشاهده می شود، وجود نویز سبب به وجود آمدن اختلال در یافتن شدت آسیب شده است، اما محل خرابی را با دقت خوبی پیدا کرده است.

۲.۵. مثال دوم: قاب ۷ طبقه‌ی ۳ دهانه

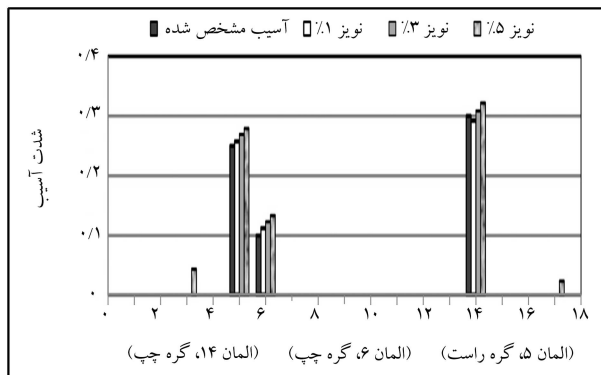
در پژوهش حاضر، قاب با ۴۹ المان مطابق شکل ۲۱ به عنوان مثال دوم بررسی شده است. تعداد درجه های آزادی کل سازه ای مذکور با حذف درجه های آزادی مقید در تکیه گاه، ۸۴ است. بار ضربه بی در گره ۸ (درجه ای آزادی افقی) به قاب وارد می شود. مشخصات مقاطع و دو سفاربی خرابی برای قاب مذکور به ترتیب در جدول های ۴ و ۵ ارائه شده است. پارامترهای بهینه سازی $NP = 60$ ، $m_f = 6$ و $cr = 18$ به دست می آید. مقدار $k_{\max} = 10000$ است.

۱.۲.۵. بررسی تأثیر محل قرارگیری حسگرها و تعداد آنها در شناسایی خرابی

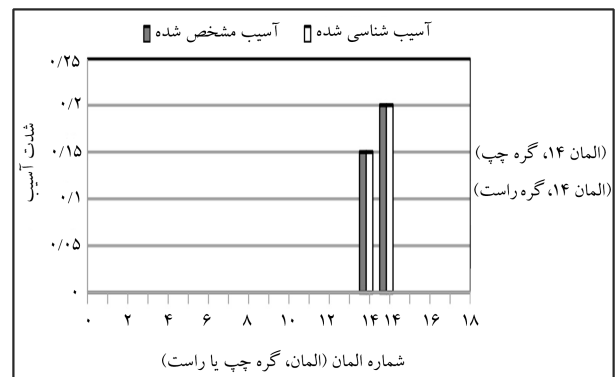
در مثال کنونی نیز ۵ حالت قرارگیری حسگرها و تعداد آنها در شناسایی خرابی در آزمون و خطاب بهترین حالت قرارگیری حسگر مشخص شود. به ذکر لازم است تا با آزمون و خطاب بهترین حالت قرارگیری حسگر مشخص شود. به ذکر لازم است



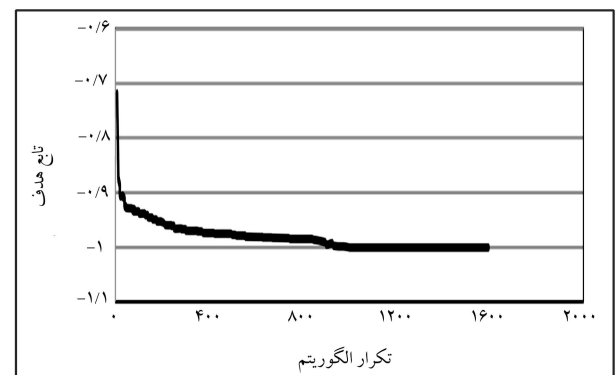
شکل ۱۹. نمودار شناسایی خرابی در حالت خرابی G_1 با درنظر گرفتن نویز.



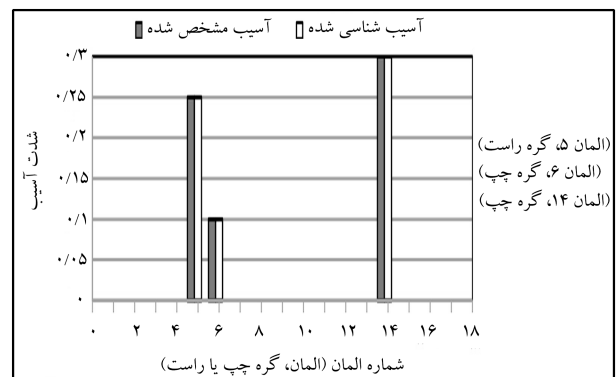
شکل ۲۰. نمودار شناسایی خرابی در حالت خرابی G_2 با درنظر گرفتن نویز.



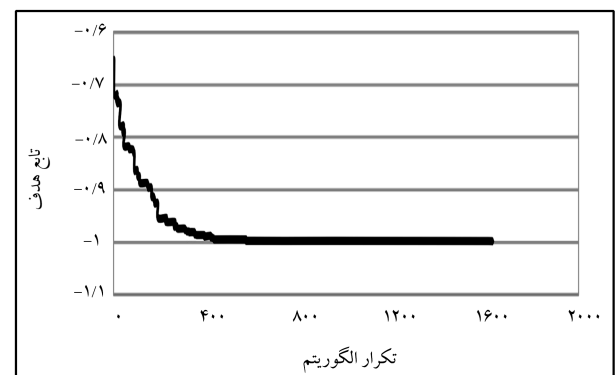
شکل ۱۵. نمودار شناسایی خرابی در حالت خرابی G_1 .



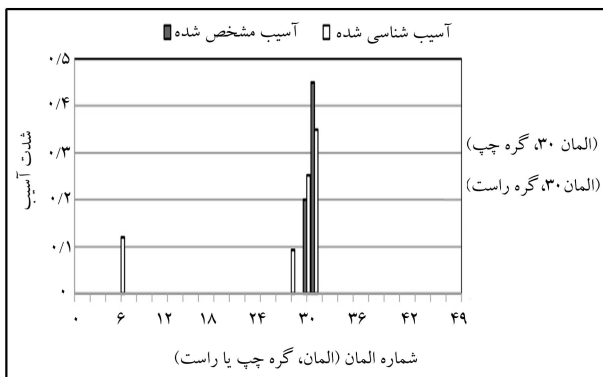
شکل ۱۶. نمودار همگرایی الگوریتم بهینه سازی در حالت خرابی G_1 .



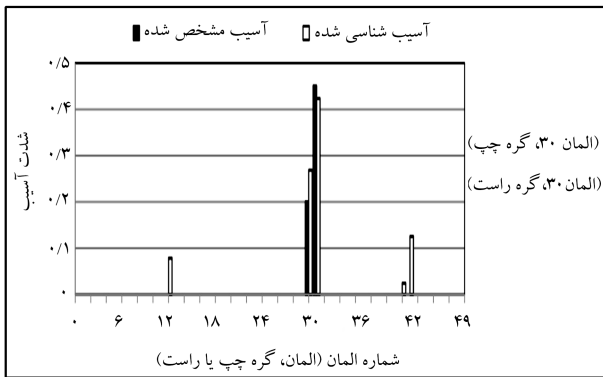
شکل ۱۷. نمودار شناسایی خرابی در حالت خرابی G_2 .



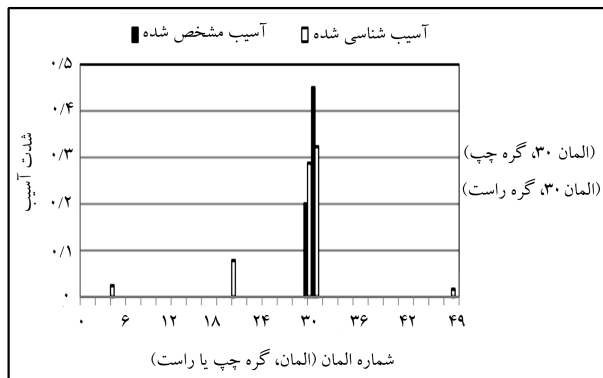
شکل ۱۸. نمودار همگرایی الگوریتم بهینه سازی در حالت خرابی G_2 .



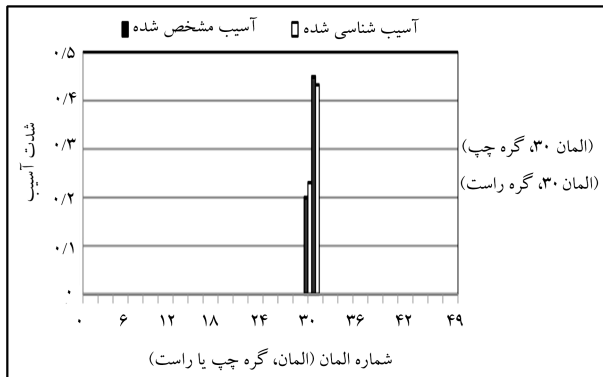
شکل ۲۲. نمودار شناسایی خرابی در حالت G1 و حالت ۱ قرارگیری حسگر.



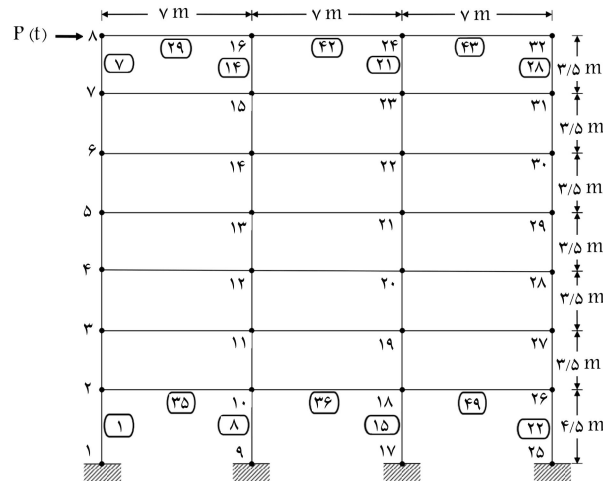
شکل ۲۳. نمودار شناسایی خرابی در حالت G1 و حالت ۲ قرارگیری حسگر.



شکل ۲۴. نمودار شناسایی خرابی در حالت G1 و حالت ۳ قرارگیری حسگر.



شکل ۲۵. نمودار شناسایی خرابی در حالت G1 و حالت ۴ قرارگیری حسگر.



شکل ۲۱. مدل قاب فولادی ۷ طبقه با ۴۹ المان.

جدول ۴. مشخصات مقاطع قاب فولادی ۷ طبقه.

$\rho \left(\frac{kg}{m^3} \right)$	$E(GPa)$	$I(m^4)$	$A(m^2)$	قاب
7850	210	$5,62 \times 10^{-4}$	$1,04 \times 10^{-2}$	تیر
7850	210	$7,12 \times 10^{-4}$	$2,78 \times 10^{-2}$	ستون

جدول ۵. حالت‌های آسیب‌دیدگی اعمال شده به قاب با ۴۹ المان.

(شماره‌ی گره، شماره‌ی المان)	
(۳۰, ۱)	= ۰, ۲
(۳۰, ۲)	= ۰, ۴۵ G1

(۳۱, ۱)	
(۶, ۱)	= ۰, ۳۵

(۵, ۲)	
(۵, ۲)	= ۰, ۱ G2

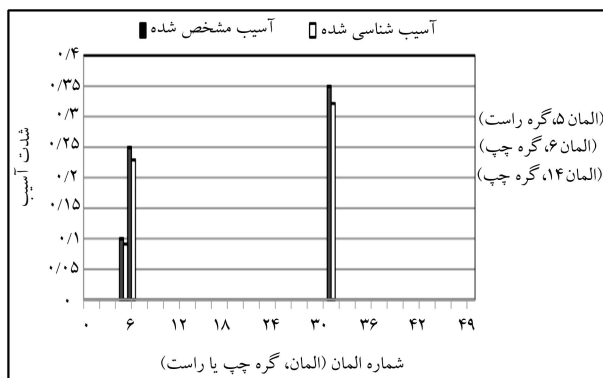
جدول ۶. حالت‌های قرارگیری حسگرها.

حالات	شماره‌ی گره	شماره‌ی المان
-	-	۳۱ ۱
-	۳۲	۲۲ ۲
-	۲۱	۳۰ ۳
-	۳۱	۱۶ ۴
۳۱	۲۳	۱۶ ۵

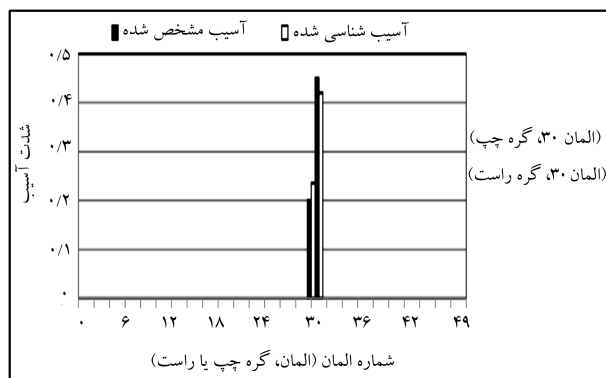
که کلیه‌ی حسگرها در درجه‌ی آزادی افقی قرار گرفته‌اند. در بخش حاضر، نتایج فقط برای حالت خرابی G1 ارائه شده است.

نمودار شناسایی خرابی در حالت G1 با ۵ حالت قرارگیری حسگر در شکل‌های ۲۲ الی ۲۶ نشان داده شده است. همان‌طورکه در شکل‌های ۲۲ الی ۲۶ مشاهده می‌شود، قرارگیری حسگرها در طبقات بالا و نزدیکی آن‌ها به موقعیت خرابی، سبب شناسایی بهتر محل و شدت خرابی می‌شود و افزایش تعداد حسگرها به همراه تعییه‌ی آن‌ها در محل مناسب، دقت روش شناسایی را بالا خواهد برد و قرارگیری حسگر در محل نامناسب سبب پدید آمدن خطأ حتی با وجود تعداد حسگرها بیشتر می‌شود.

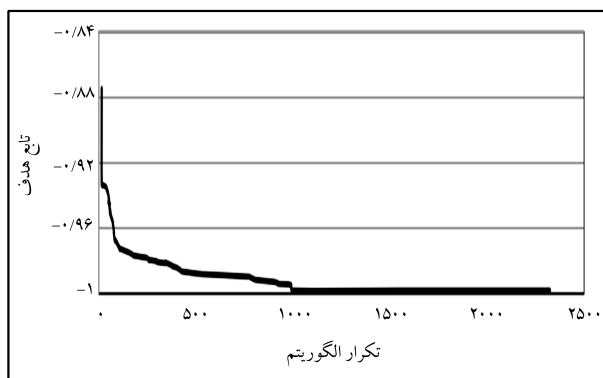
۲.۲.۵. شناسایی خرابی در قاب ۷ طبقه با ۴۹ المان با آزمون و خطأ، بهترین حالت‌های قرارگیری حسگر، حالت‌های ۴ و ۵ است که در



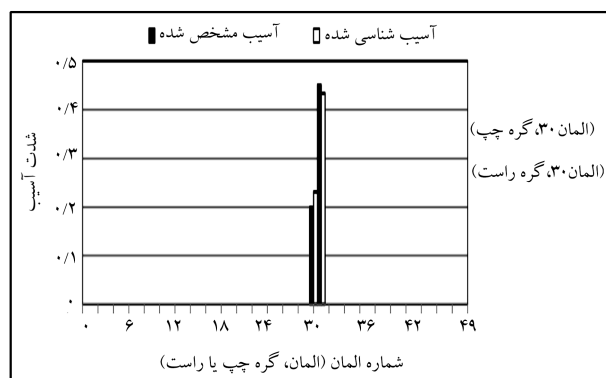
شکل ۲۹. نمودار شناسایی خرابی در حالت خرابی G۲.



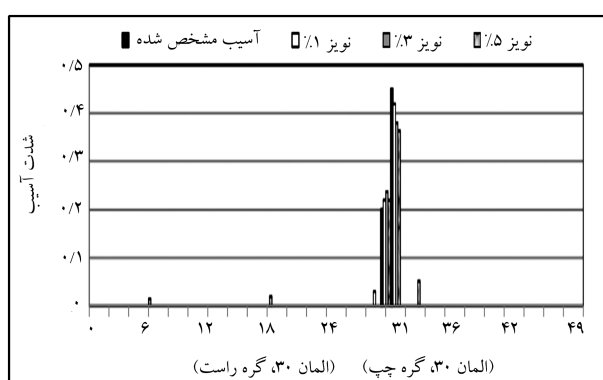
شکل ۲۶. نمودار شناسایی خرابی در حالت G۱ و حالت ۵ قرارگیری حسگر.



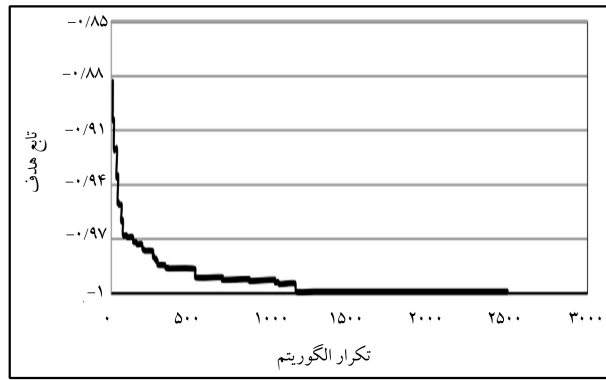
شکل ۳۰. نمودار همگرایی الگوریتم بهینه‌سازی در حالت خرابی G۲.



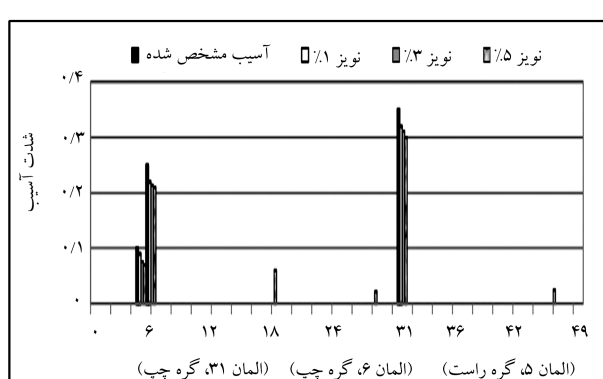
شکل ۲۷. نمودار شناسایی خرابی در حالت خرابی G۱.



شکل ۳۱. نمودار شناسایی خرابی در حالت خرابی G۱ با درنظر گرفتن نویز.



شکل ۲۸. نمودار همگرایی الگوریتم بهینه‌سازی در حالت خرابی G۱.



شکل ۳۲. نمودار شناسایی خرابی در حالت خرابی G۲ با درنظر گرفتن نویز.

مطالعه‌ی حاضر حالت ۴ (با دو حسگر) برای ادامه‌ی کار انتخاب شده است. نمودار شناسایی خرابی در اتصال و نمودار همگرایی الگوریتم بهینه‌سازی بدون درنظر گرفتن نویز در حالت خرابی G۱ به ترتیب در شکل‌های ۲۷ و ۲۸ و در حالت خرابی G۲ به ترتیب در شکل‌های ۲۹ و ۳۰ مشاهده می‌شوند.

در شکل‌های مذکور مشاهده می‌شود که روش پیشنهادی موقعیت و شدت خرابی را بدون درنظر گرفتن نویز با دقت بالایی پیدا کرده است. همچنین الگوریتم بهینه‌سازی تقریباً ۲۵۰۰ بار تکرار شده است که در ۴۰۰ تکرار آخر، تغییر محسوسی در آن مشاهده نمی‌شود و الگوریتم به همگرایی رسیده است. حال با اعمال نویز اندازه‌گیری با درصد خطای استاندارد ۱٪، ۳٪ و ۵٪ نتایج حاصل برای دو حالت خرابی مذکور بررسی می‌شود. شکل‌های ۳۱ و ۳۲، به ترتیب نمودارهای شناسایی خرابی در حالت خرابی G۱ و G۲ با درنظر گرفتن نویز را نشان می‌دهند. مشاهده

بخش‌های پیشین، ابتدا تمام اتصال‌های قاب فولادی با فنرها پیچشی فاقد طول در انتهای تیر مدل شدند. شدت آسیب در اتصال نیز به صورت کاهش نسبت ضریب صلابت انتهایی اتصال تعریف شده است. در ادامه، مسئله‌ی تعیین محل و شدت خرابی در اتصال به صورت یک مسئله‌ی بهینه‌سازی استاندارد تبدیل و با بهکارگیری الگوریتم تکامل تفاضلی پهلوپدیافت، مسئله‌ی بهینه‌سازی حل شد. دو مثال از قاب دو بعدی ارائه شده است که در هر کدام تأثیر محل و تعداد حسگر در شناسایی خرابی بررسی شد. نتایج بدست آمده، نشانگر کارایی و دقیق‌تری روش پیشنهادی در شناسایی موقعیت و شدت خرابی در حالت بدون نویز است. علاوه بر این مشاهده می‌شود که نویز اندازه‌گیری باعث بروز خطأ در یافتن شدت آسیب‌های سازه به خصوص در نویز ۳٪ و ۵٪ می‌شود، اما مانع یافتن محل دقیق آن‌ها نمی‌شود و کمکان حل ارائه شده، هم‌گرایی خوبی نیز دارد. همچنین افزایش تعداد حسگر و جانمایی آن در محلی مناسب، سبب افزایش دقیق‌تری در شناسایی خرابی می‌شود.

می‌شود که با وجود نویز محل خرابی به خوبی پیدا شده است، اما در تعیین شدت خرابی اختلال به وجود آمده است.

۶. نتیجه‌گیری

وجود خرابی در سازه‌ها باعث تغییراتی در پاسخ‌های دینامیکی از جمله شتاب سازه می‌شود که می‌توان با استفاده از آن‌ها، محل و شدت خرابی را تشخیص داد. در مطالعه‌ی حاضر سعی شده است که روشی کارآمد از شاخه‌ی عیب‌یابی غیرمحرب سازه‌ها ارائه شود تا از هزینه‌های مریوط به این کار کاسته و مکان دقیق خرابی برآورد شود. در این راستا تلاش شده است تا از روابط ساده‌تری در مقایسه با دیگر روش‌ها استفاده شود. به منظور شناسایی و تخمین میزان و محل آسیب در اتصال‌های تیر به ستون در قاب خمی براستن روند رانه شده در

پانوشت‌ها

1. improved differential evolution algorithm
2. approximate parameter change (APC)
3. damage signature matching (DSM)
4. piezoelectric sensors
5. bayesian calibration technique
6. particle swarm optimization (PSO)
7. Matlab
8. joint
9. first
10. end
11. differential evolution

منابع (References)

1. Seyedpoor, S.M. and Yazdanpanah, O. "An efficient indicator for structural damage localization using the change of strain energy based on static noisy data", *Applied Mathematical Modelling*, **38**(9-10), pp. 2661-2672 (2014).
2. Lam, H.F., Ko, J.M. and Wong, C.W. "Localization of damaged structural connections based on experimental modal and sensitivity analysis", *Journal of Sound and Vibration*, **210**(1), pp. 91-115 (1998).
3. Yun, C.B., Yi, J.H. and Bahng, E.Y. "Joint damage assessment of framed structures using a neural networks technique", *Engineering Structures*, **23**(5), pp. 425-435 (2001).
4. Rittumrongkul, S. and Fujino, Y. "Identification of the location and level of damage in multiple-bolted-joint structures by PZT actuator-sensors", *Journal of Structural Engineering*, **132**(2), pp. 304-311 (2006).
5. Turker, T., Kartal, M.E., Bayraktar, A. and et al. "Assessment of semi-rigid connections in steel structures by modal testing", *Journal of Constructional Steel Research*, **65**(7), pp. 1538-1547 (2009).
6. Labuz, E.L., Chang, M. and Pakzad, SH.N. "Local damage detection in beam-column connections using a dense sensor network", *Proceedings of Structures Congress 2010*, USA, pp. 3143-3154 (2010).
7. He, K. and Zhu, W.D. "Detection of damage in lightning masts and loosening of bolted connections in structures using changes in natural frequencies", *Part of the Series Conference Proceedings of the Society for Experimental Mechanics Series*, USA, pp. 63-78 (2010).
8. Hegenderfer, J., Atamturktur, S. and Gillen, A. "Damage detection in steel structures using bayesian calibration techniques", *Conference Proceedings of the Society for Experimental Mechanics Series*, New York, pp. 179-193 (2012).
9. Nanda, B., Maity, D. and Maiti, D.K. "Modal parameter based inverse approach for structural joint damage assessment using unified particle swarm optimization", *Applied Mathematics and Computation*, **242**(In Progress), pp. 407-422 (2014).
10. Yin, T., Jiang, Q.H. and Yuen, K.V. "Vibration-based damage detection for structural connections using incomplete modal data by Bayesian approach and model reduction technique", *Engineering Structures*, **132**(In Progress), pp. 260-277 (2016).
11. Kathkhuda, H.N., Dwairi, H.M. and Shatarat, N. "System identification of steel framed structures with Semi-rigid connections", *Structural Engineering and Mechanics*, **34**(3), pp. 351-366 (2010).
12. Filho, M.S., Guimaraes, M.J.R., Sahlit, C.L. and et al. "Wind pressures in framed structures with semi-rigid connections", *Journal of Brazilian Society of Mechanical Sciences and Engineering*, **26**(2), pp. 180-189 (2004).
13. Clough, R.W. and Penzien, J., *Dynamics of Structures*, 2nd ed., McGraw-Hill, New York (1993).
14. Nobahari, M. and Seyedpoor, S.M. "Structural damage detection using an efficient correlation-based index and

- a modified genetic algorithm”, *Mathematical and Computer Modelling*, **53**(9-10), pp. 1798-1809 (2011).
15. Stutz, L.T., Tenenbaum, R.A. and Correa, R.A.P. “The Differential Evolution method applied to continuum damage identification via flexibility matrix”, *Journal of Sound and Vibration*, **345**(In Progress), pp. 86-102 (2015).
16. Seyedpoor, S.M., Shahbandeh, S. and Yazdanpanah, O. “An efficient method for structural damage detection using a differential evolution algorithm-based optimization approach”, *Civil Engineering and Environmental Systems*, **32**(3), pp. 230-250 (2015).
17. Das, S., Mullick, S.S. and Suganthan, P.N. “Recent advances in differential evolution-an updated survey”, *Swarm and Evolutionary Computation*, **27**, pp. 1-56 (2016).
18. Erbao, C. and Mingyong, L. “A hybrid differential evolution algorithm to vehicle routing problem with fuzzy demands”, *Journal of Computational and Applied Mathematics*, **231**(1), pp. 302-310 (2009).